

УДК 628.147

МЕТОДИКА РОЗРАХУНКУ БІОСОРБЦІЙНИХ СПОРУД ДЛЯ ОЧИЩЕННЯ ВОДИ

Д.В. ЧАРНИЙ

Інститут гідротехніки і меліорації НАН

Наведено методику розрахунку оптимальних конструктивних і технологічних параметрів біосорберів, що забезпечують підвищення ефективності очищення води від органічних і токсичних речовин.

Ключові слова: біосорбція, шар завислого осаду, порозність, біоплівка, швидкість окислення

Існуюча проблема. Специфіка питного водопостачання в Україні полягає в тому, що воно на 75% базується на поверхневих джерелах [1, 2] і залежить від їхньої екологічної безпеки.

Меліорація і водне господарство. 2010. Вип. 98

© Д.В.Чарний, 2010

А стан річкової води в Україні оцінюється за гідрохімічними показниками від слабо до сильно забрудненого. До найбільш небезпечних забруднень, що надходять у воду джерел водопостачання, належать: іони металів, солі, токсичні й біологічно активні речовини, нафтопродукти, феноли, пестициди, поверхнево активні речовини, хлорорганічні сполуки, а також бактеріальні і вірусні забруднення, радіоактивні речовини природного і антропогенного походження, мутагенні сполуки органічного та неорганічного походження; мікозні забруднення, гормональні препарати. Тобто сучасна вода традиційних джерел водопостачання наближається за своїм складом до розведених міських стічних вод. Водночас існуючі у нас системи водопідготовки як у міському, а особливо, в сільському водопостачанні розраховані на воду I і II класів і неспроможні забезпечувати очищення води до нормативної якості.

Застосування сорбційних та новітніх коагуляційно-флокуляційних реагентів стримується їхньою високою вартістю і не вирішує питання доставки якісної води до споживача. Під час її транспортування існуючими мережами відбувається повторне забруднення вже очищеної води.

Зняти гостроту цієї проблеми, особливо для сільськогосподарського водопостачання, дає змогу нова концепція розвитку систем водопостачання розробки ІГіМ НААН [3], що містить такі основні засади, як відбір і попереднє очищення вихідної води до стану «технічної» [4], її транспортування і кінцеве доочищення в безпосередній близькості до споживача.

Застосування систем доочищення в сільській місцевості типових сорбційних чи інших технологій, що постійно потребують нових реагентів, стримується як економічними фактограми, так необхідністю залучення для експлуатації кваліфікованого персоналу.

Надійнішими і дешевшими в цих умовах є біологічні системи з їхньою здатністю до самовідновлення і автоселекції біоти, що споживає ті чи інші компоненти поживного субстрату, яким є вихідна вода. А при іммобілізації біоти на носіях з розвинutoю поверхнею і сорбційною здатністю значно під-

вищується її стійкість до несприятливих факторів, які можуть вплинути на їхню життєдіяльність.

Суть біосорбційного методу полягає в поєданні в просторі і в часі процесів адсорбції органічних забруднень з вихідної води та в їхньому біологічному окисленні мікроорганізмами, іммобілізованими на поверхні і в мікропористій структурі пористого гранульованого носія. Це дає можливість безперервно здійснювати глибоке очищення води від органічних важкоокислюваних і токсичних сполук без необхідності термічної регенерації або заміни сорбенту.

Принципову схему біосорбера очищення природної води наведено на рис. 1. Вихідна вода 1 надходить в аераційну камеру 2, де відбувається її насичення киснем повітря, потім потік рідини надходить у нижню водорозподільну систему біосорбера 4, рівномірно розподіляється за площею споруди і піднімається вгору з швидкістю, що забезпечує псевдозрідждення завантажувального матеріалу. Це створює оптимальні умови для інтенсивного протікання процесів розвитку іммобілізованих мікроорганізмів і біологічного окислення органічних за-

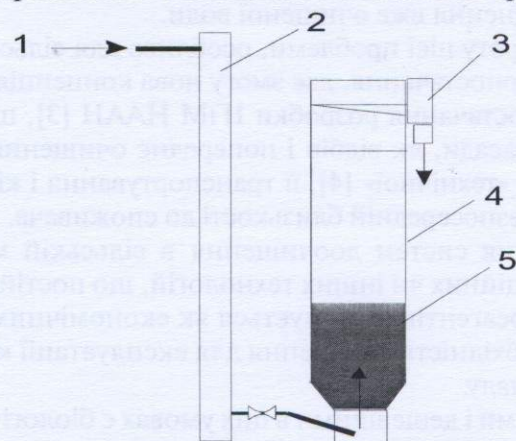


Рис. 1. Принципова схема біосорбера для обробки природної води:

1 – вихідна вода; 2 – аераційна камера; 3 – відведення очищеної води; 4 – біосорбер; 5 – фільтрувальний матеріал

бруднень. Розвинена поверхня гранульованого активованого вугілля сприяє збільшенню біомаси мікроорганізмів у споруді, що, у свою чергу, забезпечує високу продуктивність установки і стабільність роботи.

Пройшовши крізь завислий шар сорбційного матеріалу, потік рідини досягає водозбірного пристрою, збирається з поверхні споруди і відводиться (залежно від місцевих умов) до циркуляційного насоса або на подальші стадії очищення.

Мета роботи. Метою даної роботи була розробка методики розрахунку біосорбера до оптимальних параметрів для відповідних марок активованого вугілля.

Результати досліджень. Відомо, що один з кращих масо-, енергообмінів відбувається в реакторах чи системах спалення в киплячому або псевдокиплячому шарі. Як показав досвід експлуатації експериментальних [5, 6] та експериментально-виробничих [5, 7] біосорберів, при ступені розширення їхнього фільтрувального завантаження до 30% спостерігалося накопичення забруднень у товщі шару завантаження, що призводило до утворення вторинних забруднень і істотно позначалося на якості очищення. Ефективність нітрифікації при цьому не перевищувала 5–10%. Збільшення ступеня розширення завантаження до 40–42% дає змогу підвищити ефективність очищення. У цей період ефективність зниження вмісту азоту амонійного зростала до 70–80%, а ефективність зниження ХПК становила в середньому 15–20%. Отримано емпіричне рівняння, яке описує розширення шару завантаження при псевдозрідженні:

$$V/V_\beta = \varepsilon^{Z_0}, \quad (1)$$

де V – робоча швидкість; ε – пористість шару; V_β – швидкість зависання частинки; Z_0 – функція критерію Рейнольдса.

Пористість псевдозріженого шару:

$$\frac{1}{0,21} \cdot Ar = 18 \cdot Re + 0,36 \cdot Re^2, \quad (2)$$

де Re – число Рейнольдса; Ar – число Архімеда.

Існування псевдозріженого шару знаходиться між двома швидкостями руху рідини, які називаються першою і другою критичними швидкостями – V'_{kp} і V''_{kp} відповідно.

Швидкість початку псевдозрідження V'_{kp} для інертного носія і гранул визначається за формулою Кормана-Козені [7]:

$$V'_{kp} = 0,00059 \frac{d^2 (\rho_t - \rho_p) g}{\mu}, \quad (3)$$

де d – діаметр кульок завантаженого носія або гранул, мм; ρ_t – щільність твердої фази або гранул, кг/м³; ρ_p – густина рідкої фази, кг/м³; $g = 9,81$ м/с²; μ – динамічна в'язкість рідини, Н·с/м².

Конструктивні параметри біосорберів (діаметр реактора і його висота, висота псевдозріженого шару сорбенту, швидкість висхідного потоку рідини в реакторі, водорозподільні системи та ін.) розраховуються на основі гіdraulічних характеристик завантажувального матеріалу, до яких належать оптимальний ступінь розширення псевдозріженого шару, необхідна швидкість висхідного потоку в реакторі (V м/с), питомі втрати напору в псевдозріженному шарі завантажувального матеріалу (ΔH , м.в.ст.).

Розрахункові концентрації доцільно визначати за допомогою гістограм щільноти розподілу концентрацій з вірогідністю перевищення 15% (85% забезпеченості). У таблиці наведено характеристики матеріалів, що використовуються як завантаження біосорбера.

Характеристики зернистих фільтрувальних матеріалів біосорбера

Матеріал	Щільність, г/см ³	Пористість завантаження, %
Кварцовий пісок	2,6–2,65	40–42
Антрацитовий дрібняк	1,6–1,7	45
Керамзитовий дрібняк	1,2–1,5	58–62
Керамзит неподрібнений	1,7–1,8	45
Шунгізитовий дрібняк	1,5–1,8	56–58
Доменні шлаки	2,6	42–44
Цеоліт	2,18–2,5*	25–28
Активоване вугілля	0,3–0,42	65

* Насипна щільність цеоліту 1,17 – 1,32 г/см³.

Діаметр частинок носія для піску 0,3–0,5 мм і для активованого вугілля 0,55–0,65 мм. Відповідно густина ρ становить: для піску 2700 кг/м³ і активованого вугілля 1300–1500 кг/м³.

Для марок активованого вугілля АГ-5, АГМ, УСК-3 отримано наступні емпіричні формули залежності відсотка розширення від швидкості фільтрації.

Для АГ-5 вимірювання за швидкостями перебуває в межах 8–47 м/год, похибка не перевищує 0,89%:

$$Rh = 26,089 \ln(V) - 8,6268, \quad (4)$$

де V – швидкість фільтрації, м/год; Rh – відсоток розширення.

Для АГМ вимірювання за швидкостями є в межах 10–73 м/год, похибка не перевищує 0,88%:

$$Rh = 19,136 \ln(V) - 6,0874. \quad (5)$$

Для УСК-3 вимірювання за швидкостями знаходиться в межах 15–75 м/год, похибка не перевищує 0,92%:

$$Rh = 11,5 \ln(V) + 21,929. \quad (6)$$

Відповідно до цих рівнянь збудовано номограми для визначення відсотка розширення фільтрувального завантаження від швидкості (рис. 2).

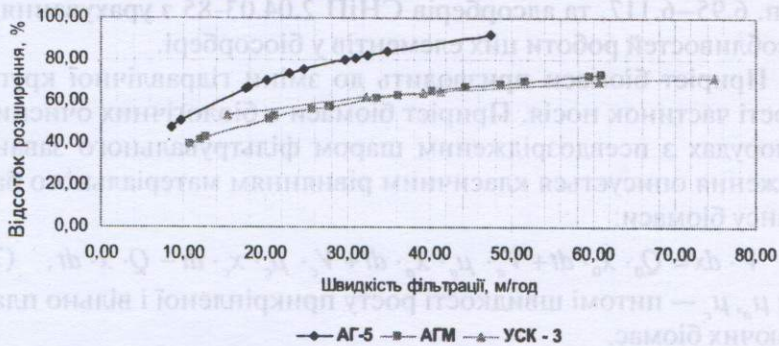


Рис. 2. Залежність розширення від швидкості фільтрації

Вибравши марку вугілля, визначивши ступінь розширення за графіками на рис. 2, визначаємо швидкість висхідного по-

току. За даними графіка рис. 2, стійкий псевдозріджений шар, при якому відбувається рівномірне за всім обсягом псевдозрідження вугілля і розширення при цьому становить 40–42%, досягається при «робочій швидкості» 33 м/год — для вугілля АГМ, 46 м/год — для вугілля АГ-5 і 51 м/год — для УСК-3. При цьому питоме значення перепаду тиску для активованого вугілля — 0,17; 0,3; 0,22 мм вод.ст./м відповідно. Швидкість надходження потоку в низ камери шару завислого осаду — 2–2,5 м/с, потрапляння гранул активованого вугілля в місце виходу потоку призводить до їхнього прискореного руйнування. Для зменшення впливу гіdraulічних сил на гранули вугілля необхідно застосовувати тангенційне підведення потоку з вертикальним напрямом під кутом до дна камери 25–30°. Вертикальна складова швидкості потоку в камері з шаром завислого осаду має бути більше або дорівнювати швидкості зависання гранул вугілля. Для розглянутих марок вона становить: АГМ — 300 м/год, АГ-5 — 245, УСК-3 — 410 м/год. Для гіdraulічного розрахунку водорозподільних і водозбірних систем усіх типів біосорберов слід використовувати методики розрахунку аналогічних систем для швидких фільтрів СНіП 2.04.02-84 п.п. 6.95–6.117, та адсорберів СНіП 2.04.03-85 з урахуванням особливостей роботи цих елементів у біосорбері.

Приріст біомаси призводить до зміни гіdraulічної крупності частинок носія. Приріст біомаси в біологічних очисних спорудах з псевдозрідженням шаром фільтрувального завантаження описується класичним рівнянням матеріального балансу біомаси:

$$V \cdot dx = Q_0 \cdot x_0 \cdot dt + V_a \cdot \mu_a \cdot x_a \cdot dt + V_c \cdot \mu_c \cdot x_c \cdot dt - Q \cdot x \cdot dt, \quad (7)$$

де μ_a, μ_c — питомі швидкості росту прикріпленої і вільно плаваючих біомас.

Допускаючи, що $x_0 \approx 0$, а $Q_0 \approx Q$ і позначаючи питому витрату потоків як швидкість розбавлення $D = Q/V$ вмісту біологічних очисних споруд, отримаємо

$$dx/dt = (1 - \varepsilon) \cdot \mu_a \cdot x_a + \varepsilon \cdot \mu_c \cdot x_c - D \cdot x, \quad (8)$$

де $\varepsilon = (V - V_0)/V$ — пористість псевдозріженого завантаження біологічних очисних споруд.

Згідно з літературними даними [8, 9] товщина біоплівки на носіях становить $\delta_{\text{б.п.}} = 0,05\text{--}0,2 \text{ мм}$ при щільноті $\rho_{\text{б.п.}} = 1040\text{--}1080 \text{ кг}/\text{м}^3$, зольність біоплівки $z = 45\text{--}50\%$.

При розрахунках розмірів біосорбера [10] треба врахувати необхідність забезпечення псевдозріження носія і тільки після утворення на ньому біоплівки апарат може працювати як очисна споруда. Таким чином, середній діаметр частинок псевдозріженого шару буде змінюватись від d_t до $d_{rp} = d_t + 2\delta_{\text{б.п.}}$ і середньозважена густина — від ρ_t до $\rho_{rp} = \frac{\rho_t \cdot \omega_t + \rho_{\text{б.п.}} \cdot \omega_{\text{б.п.}}}{\omega_{rp}}$, де ω_t — об'єм кульки; ω_{rp} — об'єм гранули.

Вважаючи форму часток інертного носія і гранул кулеподібними, отримуємо:

$$\rho_{rp} = \frac{\rho_t \cdot d_t^3 + \rho_{\text{б.п.}} (d_{rp}^3 - d_t^3)}{d_{rp}^3} = \rho_{\text{б.п.}} + \frac{d_t^3}{d_{rp}^3} (\rho_t - \rho_{\text{б.п.}}). \quad (9)$$

Для інертного носія і гранул довільної форми V'_{kp} уточнюються за залежностями Тодеса і Цитовича:

$$V'_{kp} = V_0 \frac{\left(\frac{d_a}{d_0} \right)^2}{1 + \left(\frac{d_0}{d_a} \right)^{3/2}}, \quad (10)$$

$$d_0 = 41,6 \sqrt[3]{\frac{v^3}{g} \cdot \frac{\rho_p}{\rho_m - \rho_p}}; \quad (11)$$

$$V_0 = 1,24 \sqrt[3]{g \cdot v \frac{\rho_t - \rho_p}{\rho_p}}; \quad (12)$$

v — кінематична в'язкість рідини; ρ_t — щільність інертного носія або гранул; d_e — еквівалентний діаметр, який розраховується на основі ситового аналізу інертного носія і визначається так:

$$d_e = \Phi_c + d_\omega, \quad (13)$$

де $d_w = 1,24\sqrt[3]{V_q}$.

Відповідно для частинок неправильної форми коефіцієнт сферичності Φ_c визначається так:

$$\Phi_c = \sqrt{\frac{S_k}{S_q}} = 0,207 \frac{S_q}{V_q^{2/3}} < 1, \quad (14)$$

де S_k – поверхня рівної за об'ємом кульки, м²; S_q – поверхня частинки, м²; V_q – об'єм частинки, м³.

Числові значення Φ_c визначаються експериментально. Для полідисперсного шару, який складається з частинок різного діаметра, d_e за результатами ситового аналізу буде:

$$d_e = \frac{1}{\sum_i^n \frac{x_i}{d_i}}, \quad (15)$$

де n – число фракцій; x_i – ваговий вміст i -ї фракції, частки одиниць; d_i – середній ситовий розмір i -ї фракції, тобто середнє між розмірами прохідного і непрохідного сит.

Маса біоплівки ($\mu_{б.п.}$, кг), визначається так:

$$\mu_{б.п.} = \rho_{б.п.} \cdot \frac{\pi \cdot D_{б.п.}^2 \cdot H_{зав} (1 - \varepsilon_0)}{4} \left(\frac{d_{гран.}^3}{d_{кульк.}^3} - 1 \right), \quad (16)$$

де ρ_b – щільність біоплівки, кг/м³; $D_{б.п.}$ – діаметр бioreактора, м; $H_{зав}$ – висота завантаження реактора без урахування біоплівки, м; ε_0 – середня пористість завантаження, не враховуючи псевдозріджений шар, для кулястих частинок; $d_{гран.}$ – діаметр гранул, мм; $d_{кульк.}$ – діаметр кульки завантаження, мм.

Об'єм псевдозрідженого шару реактора W , м³ визначається так:

$$W_{пп} = \frac{\pi \cdot D_{зан}^2 \cdot H_0 (1 - \varepsilon_{пп})}{4(1 - \varepsilon_{пп})}, \quad (17)$$

де H_0 – висота завантаження гранул, м.

$$H_0 = H_{зан} \cdot \frac{d_{гран.}^3}{d_{кульк.}^3}. \quad (18)$$

(18) Висота псевдозрідженошару:

$$H_{\text{пш}} = H_0 \cdot \frac{(1 - \varepsilon_0)}{(1 - \varepsilon_{\text{пш}})}, \quad (19)$$

де $\varepsilon_{\text{пш}}$ — пористість псевдозрідженошару;

$$\varepsilon_{\text{пш}} = \frac{1}{0,21} \cdot \text{Ar} = 18 \cdot \text{Re} + 0,36 \cdot \text{Re}^2, \quad (20)$$

де Re — число Рейнольдса; Ar — число Архімеда.

Концентрація біомаси B , кг/м³, визначається так:

$$B = \frac{M_{\text{бп}}}{W_{\text{пш}}}. \quad (21)$$

Питома швидкість вилучення забруднень:

$$Y_{\text{пнр}} = \frac{Q(L - L_t)}{F_{\text{бп}} \cdot \delta_a \cdot B_{\text{бп}}}, \quad (22)$$

де Q — витрата води, м³/год; L — кількість забруднень на вході біосорбера, г/м³.

$$L = \frac{L_0 + n \cdot L_t}{1 + n}, \quad (23)$$

де L_0 — концентрація забруднень у водах, які надходять на очищення, г/м³; L_t — концентрація забруднень в очищених водах, г/м³; n — кратність рециркуляції.

$$n = \frac{Q_{\text{зар}}}{Q} - 1. \quad (24)$$

$$Q_{\text{зар}} = F_{\text{ан}} \cdot V_{\text{nc}}, \quad (25)$$

де $F_{\text{ан}}$ — площа біосорбера, м²; V_{nc} — швидкість псевдозрідженння шару завантаження гранул, м/год:

$$V_{\text{nc}} = \varepsilon_{\text{пш}}^k \cdot V''_{\text{кр}}. \quad (26)$$

$F_{\text{ан}}$ — ефективна площа, яку займає прикріплена мікрофлора в біосорбера, м²/м³.

$$F_{\text{ан}} = \frac{N \cdot F_{\text{бп гран}}}{W_{\text{ан}}}, \quad (27)$$

де N — загальна кількість частинок гранул у біосорбери, шт.;

$F_{\text{бп гран}}$ — площа, яку займає біоплівка на одній кульці гранули, м².

$$F_{\text{бп гран}} = \pi \cdot d_{\text{гран}}^2; \quad (28)$$

$$N = \frac{3}{2} \cdot \frac{D_{\text{ан}}^2 \cdot H_{\text{заб.}} \cdot (1 - \varepsilon_0)}{d_{\text{кульк.}}^3}, \quad (29)$$

де δ_a — товщина активної маси біоплівки, береться 50% загальної;

$$\delta_a = \frac{\delta_{\text{бп}}}{2} = \frac{0,1}{2} = 0,05 \text{ мм.}$$

$B_{\text{бп}}$ — концентрація сухої речовини в біоплівці, $\text{кг}/\text{м}^3$:

$$B_{\text{бп}} = B \cdot z,$$

де z — зольність, яка береться 40%, тобто $z=0,4$.

$$\Omega M = \frac{Q(L_0 - L_t)}{W_{\text{пп}}}, \quad (30)$$

$W_{\text{пп}}$ — об'єм псевдозрідженої шару $W_{\text{пп}}$, м^3 .

Для визначення необхідної кількості завантаження P , т, за- пропоновано [6] емпіричну формулу на базі експериментально визначеної питомої швидкості окислення за заданими лімітуючими показниками (окислюваність, азот амонійний або інші лімітуючі компоненти) залежно від вимог, що висуваються до якості очищеної води

$$P = \frac{(L_0 - L_t)Q}{\rho 1000}, \text{ т}, \quad (31)$$

де Q — витрата технічної води, $\text{м}^3/\text{год}$; ρ — питома швидкість окислення, визначається експериментально, $\text{млг}/\text{г} \text{ вугілля за добу}$; L_0 — концентрація забруднень (окислюваність, азоту амонійного і ін. специфічних компонентів) у вихідній воді, $\text{мг}/\text{дм}^3$; L_t — концентрація забруднень (окислюваність, азоту амонійного та інших специфічних компонентів) у очищеної воді, $\text{мг}/\text{дм}^3$.

Уточнення цієї формулі введенням температурних чинників дає наступне рівняння:

$$P = \frac{(L_0 - L_t)Q}{\rho_{20} \exp \chi(T - 20) 1000}, \quad (32)$$

де L_0 і L_t — розрахункова концентрація забруднень у початковій і очищенні воді ($\text{г}/\text{м}^3$); Q — витрата води, що очищається ($\text{м}^3/\text{добу}$); ρ_{20} — питома швидкість окислення забруднення при температурі води 20°C ($\text{г забруднення}/\text{кг вугілля (цеоліту) на добу}$); χ — константа рівняння Ван-Гоффа; T — температура вихідної води, $^\circ\text{C}$.

Висновки. Наведені номограми і формули дають змогу оптимальним чином розраховувати біосорбер з шаром завислого осаду для відповідних марок активованого вугілля як носія біоти. Також подано методику розрахунку біосорбера з інертним носієм закріпленої біоти, що враховує вплив біологічної плівки на характеристики гранул фільтрувального завантаження.

1. Гончарук В.В. Вода: Проблемы устойчивого развития цивилизации в XXI веке. – К.: НКХХВ НАН Украины, 2003. – 47 с.
2. Яцик А.В. Наукові і організаційні засади екологічно безпечного водокористування в Україні // Водозабезпечення та водне господарство. – 2004. – №1. – С. 4–8.
3. Коваленко П., Хоружий П., Хомутецька Т., Чарний Д. та ін. Децентралізовані системи сільськогосподарського водопостачання: посібник до ВБН 46/33-2.5-5-96 «Сільськогосподарське водопостачання. Зовнішні мережі і споруди. Норми проектування». – 1996.
4. Коваленко П., Ромашенко М., Хоружий П., Хомутецька Т., Чарний Д. та ін. Води технічні. Настанови щодо використання в децентралізованих групових системах сільгospводопостачання //Стандарт Держводгоспу України СОУ 41.00 – 37 – 2009.
5. Семенов М.Ю. Биологическая очистка поверхностных сточных вод от органических загрязнений и соединений азота: автореф. дис. ... канд. техн. наук. – М., 2007. – 17 с.
6. Пушников М.Ю. Очистка природных вод биосорбционными методами: автореф. дис. ... канд. техн. наук. – М., 2000. – С. 15.
7. Тодес О.М., Цитович О.Б. Аппараты с кипящим зернистым слоем: гидравлические и тепловые основы работы. – Л.: Химия, 1981. – 296 с.
8. Унгуряну Д.В. Биохимическая очистка сточных вод с применением техники псевдоожиженного слоя. – Кишинев.: Штиинца, 1988. – 99 с.

9. Калюжний С.В., Данилович Д.А., Ножевникова А.Н. Анаэробная биологическая очистка сточных вод //Биотехнология. — 1991. — №29. — С. 155.
10. Василенко О.А., Давиденко О.І. Інженерний розрахунок анаеробного біореактора з псевдозрідженим шаром завантаження // Проблеми водопостачання, водовідведення та гіdraulіки. — К., 2007. — С. 103–108.

Приведена методика расчета оптимальных конструктивных и технологических параметров биосорбера, обеспечивающих повышение эффективности очистки воды от органических и токсичных веществ.

The method of calculating the structural and technological parameters biosorberiv to ensure efficiency of water purification from organic substances and taksychnyh.